

## 三菱重工業 汎用冗長ロボットアーム PA-10

### 運動学の解の導出

名古屋工業大学工学部機械工学科  
山田貴孝

三菱重工業製ロボットアーム PA-10 の運動学を導出す。PA-10 は 7 自由度関節を有する冗長アームである。7 つの関節を大きく 3 つの部分に分けて考える。根元から数えて第 1 関節から第 3 関節を肩 (Shoulder) 関節、第 4 関節と第 5 関節を肘 (Elbow) 関節、第 6 関節と第 7 関節を手首 (Wrist) 関節と呼ぶ。計算の都合上、肩関節は第 2 関節に 3 自由度、肘関節は第 4 関節に 2 自由度、手首関節は第 6 関節に 2 自由度の、それぞれ集中関節として考える。関節角を文字  $\theta$  で表わし、集中関節の中での番号を右下添え字で表わす。

$$\boldsymbol{\theta} = [\theta_1, \theta_2, \theta_3, \theta_4, \theta_5, \theta_6, \theta_7]^T = [\theta_{s1}, \theta_{s2}, \theta_{s3}, \theta_{e1}, \theta_{e2}, \theta_{w1}, \theta_{w2}]^T \dots \dots \dots (1)$$

アーム底面から肩関節までの長さを  $L_b$  ( $=315[\text{mm}]$ )、肩関節から肘関節までの長さを  $L_s$  ( $=450[\text{mm}]$ )、肘関節から手首関節までの長さを  $L_e$  ( $=400[\text{mm}]$ )、手首関節からアームのメカニカル先端面までの長さを  $L_w$  ( $=80[\text{mm}]$ ) で表わす。

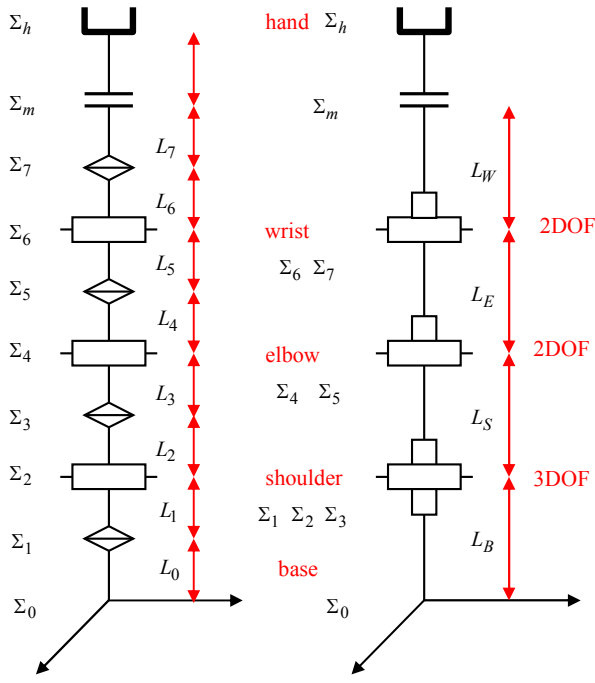


図 1

#### 1. 同時変換行列

関節角が与えられたときに基準座標系  $\Sigma_b$  に対するハンド座標系  $\Sigma_h$  の位置と姿勢を求める(順問題)。肩集中関節の位置に固定座標系  $\Sigma_a$  を新たに設定する。以下では、 $\Sigma_a$  を根元座標系と呼ぶことにする。座標系  $\Sigma_b$  から見たハンド座標系  $\Sigma_h$  の同次変換行列は次の式で計算できる。

$${}^bT_h(\boldsymbol{\theta}) = \{{}^bT_a\} \{{}^aT_{w2}(\boldsymbol{\theta})\} \{{}^{w2}T_h\}, \dots \dots \dots (2)$$

$$\begin{aligned} {}^aT_{w2}(\boldsymbol{\theta}) &= \{{}^aT_{s1}(\theta_{s1})\} \{{}^{s1}T_{s2}(\theta_{s2})\} \{{}^{s2}T_{s3}(\theta_{s3})\} \{{}^{s3}T_{e1}(\theta_{e1})\} \{{}^{e1}T_{e2}(\theta_{e2})\} \{{}^{e2}T_{w1}(\theta_{w1})\} \{{}^{w1}T_{w2}(\theta_{w2})\} \\ &\dots \dots \dots (3) \end{aligned}$$

各同次変換行列は次の式で与えられる。

$${}^aT_{s1}(\theta_{s1}) := \begin{bmatrix} \cos \theta_{s1} & -\sin \theta_{s1} & 0 & 0 \\ \sin \theta_{s1} & \cos \theta_{s1} & 0 & 0 \\ 0 & 0 & 1 & 0 \\ 0 & 0 & 0 & 1 \end{bmatrix}, \dots \dots \dots (4)$$

$${}^{s1}T_{s2}(\theta_{s2}) := \begin{bmatrix} \cos \theta_{s2} & 0 & \sin \theta_{s2} & 0 \\ 0 & 1 & 0 & 0 \\ -\sin \theta_{s2} & 0 & \cos \theta_{s2} & 0 \\ 0 & 0 & 0 & 1 \end{bmatrix}, \dots \quad (5)$$

$${}^{s2}T_{s3}(\theta_{s3}) := \begin{bmatrix} \cos \theta_{s3} & -\sin \theta_{s3} & 0 & 0 \\ \sin \theta_{s3} & \cos \theta_{s3} & 0 & 0 \\ 0 & 0 & 1 & 0 \\ 0 & 0 & 0 & 1 \end{bmatrix}, \dots \quad (6)$$

$${}^{s3}T_{e1}(\theta_{e1}) := \begin{bmatrix} 1 & 0 & 0 & 0 \\ 0 & 1 & 0 & 0 \\ 0 & 0 & 1 & L_S \\ 0 & 0 & 0 & 1 \end{bmatrix} \begin{bmatrix} \cos \theta_{e1} & 0 & \sin \theta_{e1} & 0 \\ 0 & 1 & 0 & 0 \\ -\sin \theta_{e1} & 0 & \cos \theta_{e1} & 0 \\ 0 & 0 & 0 & 1 \end{bmatrix}, \dots \quad (7)$$

$${}^{e1}T_{e2}(\theta_{e2}) := \begin{bmatrix} \cos \theta_{e2} & -\sin \theta_{e2} & 0 & 0 \\ \sin \theta_{e2} & \cos \theta_{e2} & 0 & 0 \\ 0 & 0 & 1 & 0 \\ 0 & 0 & 0 & 1 \end{bmatrix}, \dots \quad (8)$$

$${}^{e2}T_{w1}(\theta_{w1}) := \begin{bmatrix} 1 & 0 & 0 & 0 \\ 0 & 1 & 0 & 0 \\ 0 & 0 & 1 & L_E \\ 0 & 0 & 0 & 1 \end{bmatrix} \begin{bmatrix} \cos \theta_{w1} & 0 & \sin \theta_{w1} & 0 \\ 0 & 1 & 0 & 0 \\ -\sin \theta_{w1} & 0 & \cos \theta_{w1} & 0 \\ 0 & 0 & 0 & 1 \end{bmatrix}, \dots \quad (9)$$

$${}^{w1}T_{w2}(\theta_{w2}) := \begin{bmatrix} \cos \theta_{w2} & -\sin \theta_{w2} & 0 & 0 \\ \sin \theta_{w2} & \cos \theta_{w2} & 0 & 0 \\ 0 & 0 & 1 & 0 \\ 0 & 0 & 0 & 1 \end{bmatrix}, \dots \quad (10)$$

同次変換行列  ${}^bT_a$  および  ${}^{w2}T_h$  はアームとハンドの取り付け状態に応じて適切に設定する。例えば、アームの底面を基準座標系  $\Sigma_b$  とする場合には

$${}^bT_a := \begin{bmatrix} 1 & 0 & 0 & 0 \\ 0 & 1 & 0 & 0 \\ 0 & 0 & 1 & L_b \\ 0 & 0 & 0 & 1 \end{bmatrix} \dots \quad (11)$$

とする。ハンド座標系  $\Sigma_h$  をアームのメカニカル先端面  $\Sigma_m$  から  $(H_x, H_y, H_z)$  の位置に、 $\Sigma_{w2}$  と同じ姿勢で設定する場合には

$${}^{w2}T_m := \begin{bmatrix} 1 & 0 & 0 & 0 \\ 0 & 1 & 0 & 0 \\ 0 & 0 & 1 & L_w \\ 0 & 0 & 0 & 1 \end{bmatrix}, \dots \quad (12)$$

$${}^{w2}T_h := \begin{bmatrix} 1 & 0 & 0 & H_x \\ 0 & 1 & 0 & H_y \\ 0 & 0 & 1 & H_z \\ 0 & 0 & 0 & 1 \end{bmatrix}, \dots \quad (13)$$

を用いて

$${}^{w2}T_h := \{{}^{w2}T_m\} \{{}^{w2}T_h\}, \dots \quad (14)$$

と設定する。

## 2. ハンド座標系の位置・姿勢からの関節角の導出

ハンド座標系  $\Sigma_h$  の目標位置・姿勢が  ${}^bT_{hd}$  で与えられたときに、関節角度  $\theta_{s1}, \dots, \theta_{w2}$  の可能解を求める（逆問題）。行列  ${}^bT_a$  と  ${}^{w2}T_h$  は既知であるため、次の手首座標系の位置・姿勢を表わす行列  ${}^aT_{w2d}$  を目標値とすることと同値である。

$${}^aT_{w2d} := \{{}^bT_a\}^{-1} \{{}^bT_{hd}\} \{{}^{w2}T_h\}^{-1} \quad \dots \quad (15)$$

式の展開の都合から行列  ${}^aT_{w2d}$  の要素を

$${}^aT_{w2d} = \left[ \begin{array}{ccc|c} r_{11} & r_{12} & r_{13} & p_x \\ r_{21} & r_{22} & r_{23} & p_y \\ r_{31} & r_{32} & r_{33} & p_z \\ \hline 0 & 0 & 0 & 1 \end{array} \right] \quad \dots \quad (16)$$

とおく。式(16)を式(3)と連立させて関節角  $\theta_{s1}, \dots, \theta_{w2}$  を決定する。この計算の流れは次の三つの段階に分けられる。

STEP1：肩と手首の位置関係を満たすように肘関節の角度  $\theta_{e1}$  を求める。角度の組み合わせは二種類存在する。

STEP2：冗長自由度である肩関節の  $\theta_{s1}$ （あるいは  $\theta_{s3}$ ）を固定し、 $\theta_{s2}$  および  $\theta_{s3}$ （あるいは  $\theta_{s1}$ ）の角度を求める。角度の組み合わせは二種類存在する。

STEP3：目標手首姿勢を満たすように  $\theta_{e2}, \theta_{w1}, \theta_{w2}$  を求める。角度の組み合わせは二種類存在する。

### 2.1 第4関節 (E1) の決定

まず、肘関節を求める。 ${}^aT_{w2} = {}^aT_{w2d}$ において位置成分に着目する。位置成分の二乗和を整理すると、次の拘束条件を得る。

$$L_e^2 + L_s^2 + 2L_e L_s C_4 = p_x^2 + p_y^2 + p_z^2 \quad \dots \quad (17)$$

よって

$$C_4 = \frac{p_x^2 + p_y^2 + p_z^2 - L_s^2 - L_e^2}{2L_e L_s} \quad \dots \quad (18)$$

を得る。ここで、

$$|C_4| \leq 1 \quad \dots \quad (19)$$

すなわち、目標手首位置が拘束条件

$$(L_s - L_e)^2 \leq p_x^2 + p_y^2 + p_z^2 \leq (L_s + L_e)^2 \quad \dots \quad (20)$$

を満たすように設定されている場合に

$$S_4 = \lambda_4 \sqrt{1 - C_4^2}, \quad \lambda_4 = \pm 1 \quad \dots \quad (21)$$

と決まる。したがって、第4関節 (E1) の角度は次の式で決定できる。

$$\theta_4 = \text{atan} 2(S_4, C_4) \quad \dots \quad (22)$$

ただし、角度には2種類の組み合わせが存在する ( $\lambda_4 = \pm 1$ )。

式(17)の物理的意味を図2に示す。座標系  $\Sigma_a$  を基準にして肩関節の位置は  $[0,0,0]^T$ 、手首関節の位置の目標値は  $[p_x, p_y, p_z]$  になる。この2点と肘関節(E1)の間には図2に示す三角形が構成される。式(17)は、この三角形の内角の余弦定理を意味する。したがって、肘関節角度(E1)が2種類に限定されることがわかる。式(20)の拘束条件は三角形が成立する条件であり、到達可能範囲を意味する。この拘束条件を満足たさない場合、ハンドは目標位置・姿勢  ${}^bT_{hd}$  に到達することは構造的にできない。ところで、肘関節位置には、肩位置と手首位置を通る直線周りに自由度が残ることに注意する。

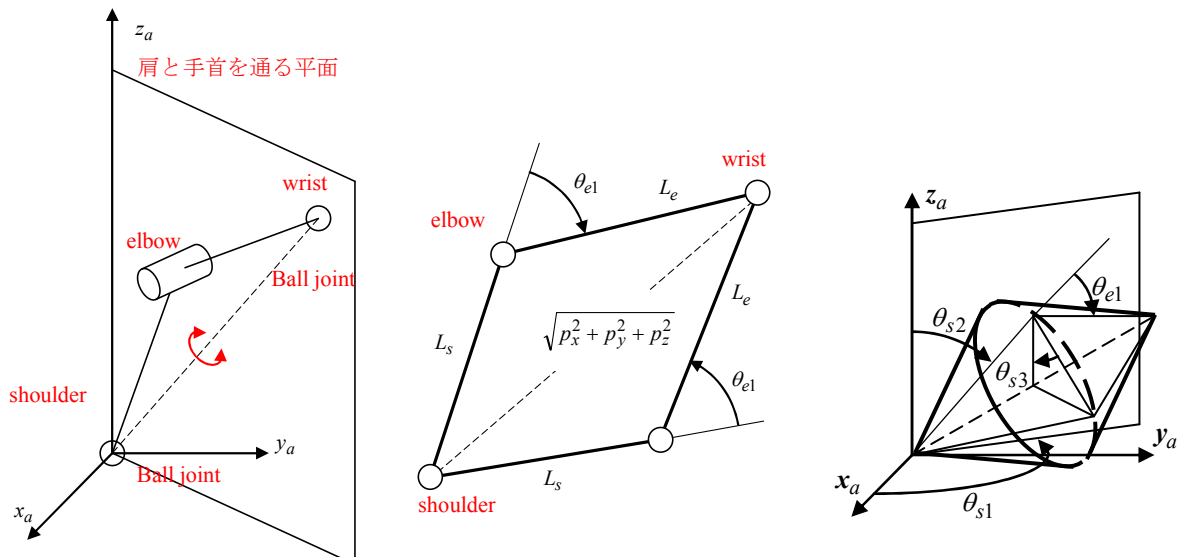


図 2

## 2.2 第1関節 (S1) から第3関節 (S3) の決定

PA-10 は関節数が冗長であるため、いずれかの関節角度を任意とし、他の角度をそれに依存して決定する必要がある。冗長関節には S1 あるいは S3 が設定できる。

### 2.2.1 第1関節 (S1) を冗長とした場合の決定法

S1 を冗長関節として選択した場合の決定法を示す。S2 から見た W2 の位置成分に着目する。

$${}^{s2}T_{w2d} := \{{}^{s1}T_{s2}\}^{-1} \{{}^aT_{s1}\}^{-1} \{{}^aT_{w2d}\} = \left[ \begin{array}{ccc|c} * & * & * & (p_x C_1 + p_y S_1) C_2 - p_z S_2 \\ * & * & * & -p_x S_1 + p_y C_1 \\ * & * & * & (p_x C_1 + p_y S_1) S_2 + p_z C_2 \\ \hline 0 & 0 & 0 & 1 \end{array} \right] \quad (23)$$

および

$${}^{s2}T_{w2} = \{{}^{s2}T_{s3}\} \{{}^{s3}T_{e1}\} \{{}^{e1}T_{e2}\} \{{}^{e2}T_{w1}\} \{{}^{w1}T_{w2}\} = \left[ \begin{array}{ccc|c} * & * & * & L_e C_3 S_4 \\ * & * & * & L_e S_3 S_4 \\ * & * & * & L_s + L_e C_4 \\ \hline 0 & 0 & 0 & 1 \end{array} \right] \quad (24)$$

より

$$(p_x C_1 + p_y S_1) C_2 - p_z S_2 = L_e C_3 S_4 \quad (25.a)$$

$$-p_x S_1 + p_y C_1 = L_e S_3 S_4 \quad (25.b)$$

$$(p_x C_1 + p_y S_1) S_2 + p_z C_2 = L_s + L_e C_4 \quad (25.c)$$

を得る。

ここで、肩関節 S2 の座標系で表わすと図 3 のようになる。

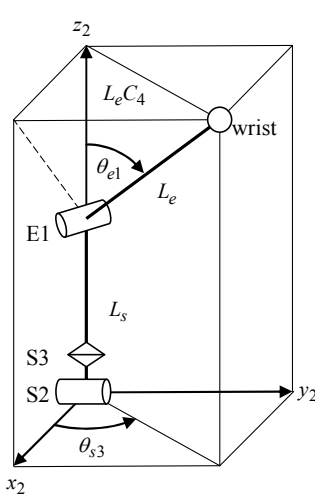


図 3

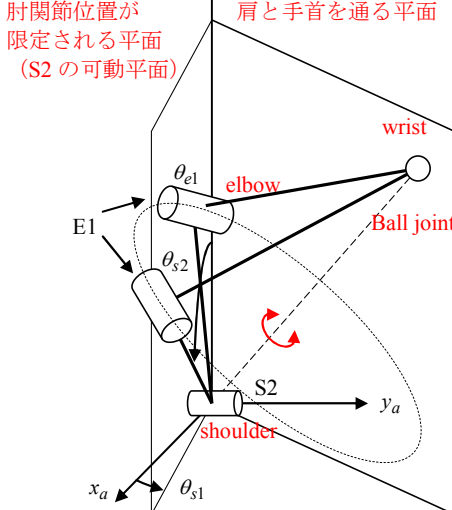


図 4

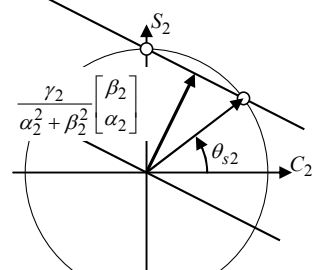


図 5

#### 2.2.1.1 第2関節(S2)の決定

$z$ 成分の式(25.c)より  $\theta_2$ に関する次の拘束条件を得る.

$$\alpha_2 S_2 + \beta_2 C_2 = \gamma_2 \quad \dots \quad (26)$$

ただし

$$\alpha_2 := p_x C_1 + p_y S_1, \quad \beta_2 := p_z, \quad \gamma_2 := L_s + L_e C_4 = (p_x^2 + p_y^2 + p_z^2 + L_s^2 - L_e^2) / (2L_s) \quad \dots \quad (27)$$

とおいている. 式(26)において,  $C_2$ と  $S_2$ をパラメータとする一般解を求め, 三角関数の条件を考慮すると, 次の式を得る.

$$\begin{bmatrix} C_2 \\ S_2 \end{bmatrix} = \frac{\gamma_2}{\alpha_2^2 + \beta_2^2} \begin{bmatrix} \beta_2 \\ \alpha_2 \end{bmatrix} + \frac{\lambda_2}{\alpha_2^2 + \beta_2^2} \sqrt{A_2} \begin{bmatrix} \alpha_2 \\ -\beta_2 \end{bmatrix} \quad \dots \quad (28)$$

したがって

$$\theta_2 = \text{atan} 2((\alpha_2 \gamma_2 - \lambda_2 \beta_2 \sqrt{A_2}), (\beta_2 \gamma_2 + \lambda_2 \alpha_2 \sqrt{A_2})) \quad \dots \quad (29)$$

を得る. ただし,

$$A_2 := \alpha_2^2 + \beta_2^2 - \gamma_2^2, \quad \lambda_2 = \pm 1 \quad \dots \quad (30)$$

である. 角度  $\theta_2$ には二種類存在することがわかる. この物理的意味を図 4 に示す. 肩関節 S1 を固定するため, 肘関節 E1 の位置は S2 の可動平面内に限定される. このため, 肘位置が 2 種類に限定される. ただし,

$$A_2 \geq 0 \quad \dots \quad (31)$$

を満たさなければならない. これは関節 S1 の拘束条件式であり, 次のように展開される.

$$\begin{aligned} A_2 &= (p_x C_1 + p_y S_1)^2 + \beta_2^2 - \gamma_2^2 = p_x^2 C_1^2 + p_y^2 S_1^2 + 2p_x p_y C_1 S_1 + \beta_2^2 - \gamma_2^2 \\ &= p_x^2 \left( \frac{1 + \cos 2\theta_1}{2} \right) + p_y^2 \left( \frac{1 - \cos 2\theta_1}{2} \right) + p_x p_y \sin 2\theta_1 + \beta_2^2 - \gamma_2^2 \quad \dots \quad (32) \\ &= \alpha_1 \sin 2\theta_1 + \beta_1 \cos 2\theta_1 - \gamma_1 \end{aligned}$$

ただし,

$$\alpha_1 = p_x p_y, \quad \beta_1 = \frac{1}{2}(p_x^2 - p_y^2), \quad \gamma_1 = \gamma_2^2 - \beta_2^2 - \frac{1}{2}(p_x^2 + p_y^2) \quad \dots \quad (33)$$

である. 式(32)は新たなパラメータ  $\phi$ を導入し, 次のように置き換えられる.

$$\begin{bmatrix} \cos 2\theta_1 \\ \sin 2\theta_1 \end{bmatrix} = \frac{1}{\sqrt{\alpha_1^2 + \beta_1^2}} \begin{bmatrix} \beta_1 & \alpha_1 \\ \alpha_1 & -\beta_1 \end{bmatrix} \begin{bmatrix} \cos \phi \\ \sin \phi \end{bmatrix} \quad \dots \quad (34)$$

ただし,  $\phi$ には次の条件を伴なう.

$$\gamma_1 \geq \sqrt{\alpha_1^2 + \beta_1^2} \text{ のとき, 条件を満たさない.}$$

$$|\gamma_1| \leq \sqrt{\alpha_1^2 + \beta_1^2} のとき, |\phi| \leq \text{atan} 2(\sqrt{\alpha_1^2 + \beta_1^2 - \gamma_1^2}, |\gamma_1|)$$

$$\gamma_1 \leq -\sqrt{\alpha_1^2 + \beta_1^2} のとき, \phi \text{ は任意}$$

式(34)は図 6 に示す範囲を意味する。これは、肩と手首を通る直線周りの自由度を用いて肘を回転させたときに、肘が S2 の可動平面と交差する条件である。

なお、 $\phi = 0$  のとき  $A_2$  が最大となる。このとき

$$\begin{bmatrix} \cos 2\theta_1 \\ \sin 2\theta_1 \end{bmatrix} = \frac{1}{p_x^2 + p_y^2} \begin{bmatrix} p_x^2 - p_y^2 \\ 2p_x p_y \end{bmatrix} \dots \quad (35)$$

となるため、

$$\begin{bmatrix} \cos \theta_1 \\ \sin \theta_1 \end{bmatrix} = \frac{\lambda_1}{\sqrt{p_x^2 + p_y^2}} \begin{bmatrix} p_x \\ p_y \end{bmatrix}, \lambda_1 = \pm 1 \dots \quad (36)$$

を得る。これは、図 8 のように、関節角  $\theta_1$  が手首位置の目標値の方向を向くことを意味する。

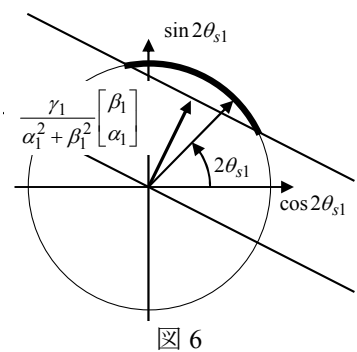


図 6

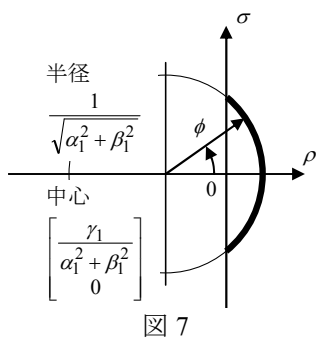


図 7

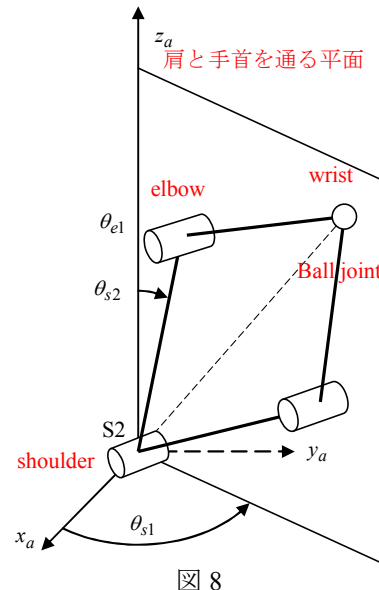


図 8

### 2.2.1.2 第3関節(S3)の決定

式(25.a)と(25.b)より

$$\begin{bmatrix} C_3 \\ S_3 \end{bmatrix} = \frac{1}{L_e S_4} \begin{bmatrix} \alpha_3 \\ -\beta_3 \end{bmatrix} \dots \quad (37.a)$$

を得る。ただし

$$\alpha_3 = (p_x C_1 + p_y S_1) C_2 - p_z S_2, \beta_3 = (p_x S_1 - p_y C_1) \dots \quad (38)$$

とおいている。分母に含まれる  $S_4$  の符号を考慮すると、

$$\theta_3 = \text{atan} 2(-\lambda_4 \beta_3, \lambda_4 \alpha_3) \dots \quad (39)$$

を得る。

なお、冗長関節のパラメータを  $\phi = 0$  に設定した場合、 $\beta_3 = 0$  となり、 $\theta_3 = 0$  あるいは  $\pm\pi$  になる。

### 2.2.1.3 関節角

以上から、関節角  $\theta_1$  から  $\theta_3$  は次の式で決まる。まず  $\phi$  の範囲を次の条件から求める。

$$|\gamma_1| \leq \sqrt{\alpha_1^2 + \beta_1^2} のとき, |\phi| \leq \text{atan} 2(\sqrt{\alpha_1^2 + \beta_1^2 - \gamma_1^2}, |\gamma_1|)$$

$$\gamma_1 \leq -\sqrt{\alpha_1^2 + \beta_1^2} のとき, \phi \text{ は任意}$$

このとき、関節角は次の式で与えられる。

$$\theta_1 = \frac{1}{2} \text{atan} 2(\{\alpha_1 \cos \phi - \beta_1 \sin \phi\}, \{\alpha_1 \sin \phi + \beta_1 \cos \phi\})$$

$$\theta_2 = \text{atan} 2((\alpha_2 \gamma_2 - \lambda_2 \beta_2 \sqrt{A_2}), (\beta_2 \gamma_2 + \lambda_2 \alpha_2 \sqrt{A_2})) \dots \quad (40)$$



$$\begin{bmatrix} C_2 \\ S_2 \end{bmatrix} = \frac{1}{\alpha_2^2 + \beta_2^2} \begin{bmatrix} \alpha_2 \delta_2 + \beta_2 \gamma_2 \\ \alpha_2 \gamma_2 - \beta_2 \delta_2 \end{bmatrix} \quad \dots \quad (46.a)$$

したがって

$$\theta'_2 = \text{atan} 2(\{\alpha_2 \gamma_2 - \beta_2 \delta_2\}, \{\alpha_2 \delta_2 + \beta_2 \gamma_2\}) \quad \dots \quad (47)$$

を得る。

### 2.2.2.3 関節角

以上から、関節角  $\theta_1$  から  $\theta_3$  は次の式で決まる。まず、次の範囲より  $\theta_3$  を決定する。

$$|S_3| \leq \frac{\sqrt{p_x^2 + p_y^2}}{L_e \sqrt{1 - C_4^2}}$$

そして、

$$\theta'_1 = \text{atan} 2((\alpha'_1 \gamma'_1 - \lambda'_1 \beta'_1 \sqrt{A'_1}), (\beta'_1 \gamma'_1 + \lambda'_1 \alpha'_1 \sqrt{A'_1})) \quad \dots \quad (48)$$

$$\theta'_2 = \text{atan} 2((\alpha'_2 \gamma'_2 - \lambda'_2 \beta'_2 \sqrt{A'_1}), (\beta'_2 \gamma'_2 + \lambda'_2 \alpha'_2 \sqrt{A'_1})) \quad \dots \quad (49)$$

$$\alpha'_1 = -p_x, \beta'_1 = p_y, \gamma'_1 = L_e S_3 S_4, \alpha'_2 = -L_e C_3 S_4, \beta'_2 = L_s + L_e C_4, \gamma'_2 = p_z$$

$$\lambda'_1 = \pm 1 \quad \dots \quad (50)$$

とする。

上記の結果から、冗長自由度  $\theta_3$  には範囲が存在すること、 $A'_1$  を最大化するのは  $\theta_3 = 0, \pm \pi$  であること、 $\theta_3$  を適切な角度に固定した場合には 4 種類の組み合わせ ( $\lambda'_1 = \pm 1, \lambda'_4 = \pm 1$ ) が存在することがわかる。

### 2.3 第 5 関節 (E2) から第 7 関節 (W2) の決定

次に、手先の姿勢成分を一致させるために、第 5 関節 (E2) から第 7 関節 (W2) の角度を求める。第 1 関節から第 4 関節の関節角度は 2.2 節の結果、既知となるため、新たに次の目標値を得る。

$$\begin{aligned} \{^{e1}T_{w2d}\} &:= \{^{s3}T_{e1}\}^{-1} \{^{s2}T_{s3}\}^{-1} \{^{s1}T_{s2}\}^{-1} \{^aT_{s1}\}^{-1} \{^aT_{w2d}\} \\ &= \left[ \begin{array}{c|c} {}^aR_{e1} & * \\ \hline 0 & 1 \end{array} \right]^{-1} \left[ \begin{array}{ccc|c} r_{11} & r_{12} & r_{13} & p_x \\ r_{21} & r_{22} & r_{23} & p_y \\ r_{31} & r_{32} & r_{33} & p_z \\ \hline 0 & 0 & 0 & 1 \end{array} \right] = \left[ \begin{array}{ccc|c} r'_{11} & r'_{12} & r'_{13} & * \\ r'_{21} & r'_{22} & r'_{23} & * \\ r'_{31} & r'_{32} & r'_{33} & * \\ \hline 0 & 0 & 0 & 1 \end{array} \right] \end{aligned} \quad \dots \quad (51)$$

他方、

$$\{^{e1}T_{w2}\} := \{^{e1}T_{e2}\} \{^{e2}T_{w1}\} \{^{w1}T_{w2}\} = \left[ \begin{array}{c|c} \begin{array}{ccc} -S_5 S_7 + C_5 C_6 C_7 & -S_5 C_7 - C_5 C_6 S_7 & C_5 S_6 \\ C_5 S_7 + S_5 C_6 C_7 & C_5 C_7 - S_5 C_6 S_7 & S_5 S_6 \\ -S_6 C_7 & S_6 S_7 & C_6 \end{array} & * \\ \hline 0 & 0 & 1 \end{array} \right] \quad \dots \quad (52)$$

の関係があるため、式(55)と式(56)が一致するという拘束条件より

$$C_6 = r'_{33}, S_6^2 = r'_{31}^2 + r'_{32}^2 \quad \dots \quad (53)$$

であっため

$$\theta_6 = \text{atan} 2(\lambda_6 \sqrt{r'_{31}^2 + r'_{32}^2}, r_{33}) = \text{atan} 2(\lambda_6 \sqrt{r'_{31}^2 + r'_{32}^2}, r_{33}), \lambda_6 = \pm 1 \quad \dots \quad (54)$$

を得る。 $|S_6| \neq 0$  のとき

$$\theta_5 = \text{atan} 2(\lambda_6 r'_{23}, \lambda_6 r'_{13}) \quad \dots \quad (55)$$

$$\theta_7 = \text{atan} 2(\lambda_6 r'_{32}, -\lambda_6 r'_{31}) \quad \dots \quad (56)$$

と決まる。他方、 $|S_6| = 0$  のとき  $C_6 = r'_{33} = \pm 1$  であるため

$$\sin(\theta_5 + r'_{33} \theta_7) = r'_{21}, \cos(\theta_5 + r'_{33} \theta_7) = r'_{22} \quad \dots \quad (57)$$

となり

$$\theta_5 = \text{atan} 2(r'_{21}, r'_{22}) - r'_{33} \theta_7 \quad \text{for } \forall \theta_7 \quad \dots \quad (58)$$

を得る。

手先関節には 2 種類の組み合わせが存在する。したがって、第 1 関節を固定した場合、関節角  $\theta_2$  から  $\theta_7$  には 8 種類の組み合わせが存在する。